

Diagnóstico mensual de eventos climáticos para la región de RCC-Washington

(i) Temperatura

En marzo, las temperaturas máximas medias ($T_{\text{máx}}$) fueron entre $1\text{ }^{\circ}\text{C}$ y $2\text{ }^{\circ}\text{C}$ superiores al promedio en las Antillas Menores, Cuba y Jamaica ([Fig. 1](#)). El norte de las Antillas Menores y Jamaica experimentaron temperaturas mínimas medias ($T_{\text{mín}}$) también entre 1 y $2\text{ }^{\circ}\text{C}$ superiores al promedio, mientras que la $T_{\text{mín}}$ se mantuvo cerca del promedio en el resto del Caribe ([Fig. 2](#)).

En México, las anomalías de $T_{\text{máx}}$ fueron positivas ($2\text{-}4\text{ }^{\circ}\text{C}$) en las zonas central, oriental y sur del país. Por el contrario, el estado de Baja California, al norte del país, registró una $T_{\text{máx}}$ entre $1\text{ }^{\circ}\text{C}$ y $2\text{ }^{\circ}\text{C}$ inferior al promedio ([Fig. 1](#)). En Centroamérica, la $T_{\text{máx}}$ fue superior al promedio ($1\text{-}4\text{ }^{\circ}\text{C}$) en la mayor parte de Centroamérica, excepto en el este de Costa Rica y Panamá, donde se observaron condiciones cercanas al promedio. Los valores de $T_{\text{mín}}$ en México fueron entre $1\text{ }^{\circ}\text{C}$ y $2\text{ }^{\circ}\text{C}$ superiores al promedio en la zona sur del país, mientras que en las zonas central y norte se observaron valores inferiores al promedio entre $1\text{ }^{\circ}\text{C}$ y $4\text{ }^{\circ}\text{C}$. En Centroamérica, los $T_{\text{mín}}$ estuvieron por encima del promedio en Guatemala, El Salvador y Honduras. En el resto de la región, los $T_{\text{mín}}$ estuvieron cerca del promedio ([Fig. 2](#)).

(ii) Precipitación

En marzo, se observaron precipitaciones de entre 10 mm y 200 mm en todo el Caribe. La mayor parte de Cuba, el noroeste de La Española, el suroeste de Haití, el oeste de Jamaica y la Isla Andros (en Las Bahamas) registraron las precipitaciones más intensas ($> 25\text{ mm}$) ([Fig. 3](#)). Mientras tanto, una pequeña zona del sur de la República Dominicana registró escasa o nula lluvia durante marzo. Este patrón provocó anomalías positivas de precipitación de entre 25 mm y 100 mm en el sur de Cuba, el norte y suroeste de Haití, y el oeste de Jamaica. Por el contrario, el norte de las Bahamas y el centro-sur de Haití registraron anomalías negativas de entre 25 mm y 50 mm . El resto de la región registró, en general, condiciones de precipitación cercanas a la media ([Fig. 4](#)).

La sequía en la mayor parte de México continuó durante marzo. Se registraron precipitaciones ligeras (entre 10 mm y 25 mm) en el noreste, el este y el sur de México; sin embargo, algunas zonas localizadas recibieron precipitaciones intensas (más de 50 mm). Por ejemplo, en partes de Chiapas y la Península de Yucatán se registraron precipitaciones de entre 25 mm y 50 mm . Además, se registraron precipitaciones de entre 25 mm y 150 mm en el noroeste de Baja California ([Fig. 3](#)). Debido a este patrón, se registraron anomalías positivas de precipitación de entre 25 mm y 50 mm en el noroeste de Baja California y de entre 25 mm y 100 mm a lo largo de la costa del Golfo de América. Se observaron pequeñas anomalías negativas, menores de 25 mm , en la mayor parte de México, y anomalías negativas mayores ($25\text{-}50\text{ mm}$) en áreas del este y sur de México, y en la Península de Yucatán ([Fig. 4](#)).

En Centroamérica, se observaron precipitaciones de moderadas a fuertes ($25\text{-}200\text{ mm}$) en partes de Guatemala, el noroeste de Honduras y el centro y este de Costa Rica. Se registraron lluvias ligeras ($10\text{-}25\text{ mm}$) en el centro y este de Guatemala, Belice, el sur de El Salvador y en Panamá. En algunas zonas del sur y norte de Guatemala, la mayor parte de El Salvador, y la mayor parte de Honduras, Nicaragua y el oeste de Panamá, no se registró lluvia. Las precipitaciones

fueron superiores al promedio en algunas zonas de Guatemala y el centro de Costa Rica ([Fig. 4](#)). Mientras tanto, en la mayor parte de Guatemala, Belice, el norte y suroeste de Honduras, el este de Costa Rica y una pequeña zona del oeste de Panamá se observaron anomalías negativas. El resto de la región registró anomalías positivas menores (10-25 mm) o condiciones cercanas al promedio.

(iii) Eventos Notables

Grandes áreas de México permanecieron en sequía durante marzo. Los percentiles de humedad del suelo estuvieron por debajo del 2% durante este mes ([Fig. 5](#)), lo que significa que los suelos se encuentran actualmente entre los más secos del período climatológico de 40 años. La sequía afecta la región norte de México, incluyendo la Península de Baja California, Chihuahua, Durango, Sinaloa y Sonora. La prolongada escasez de agua afecta el acceso al suministro de agua, la producción agrícola y la ganadería.

Las temperaturas máximas y mínimas fueron superiores al promedio en Guatemala, El Salvador y Honduras. La falta de lluvia y el aumento de las temperaturas contribuyeron a un aumento de la evapotranspiración y a una disminución de la salud de la vegetación en estos países.

(iv) Temperatura superficie del mar y circulación

Durante marzo, regresaron las condiciones de ENSO neutral, con temperaturas superficiales del mar (TSM) inferiores a la media en el océano Pacífico ecuatorial central y centro-oriental. Las anomalías negativas de la TSM se situaron generalmente entre 0.5 y 1.0 °C en esta región. Las TSM ecuatoriales fueron superiores a la media en el Pacífico oriental y extremo occidental. El índice Niño3.4 fluctuó ligeramente durante el mes, pero cerró marzo cerca de cero. El Centro de Predicciones Climáticas (CPC) emite un "Aviso Final de La Niña", indicando el fin de La Niña. Se prevén condiciones de ENSO neutrales durante el verano del hemisferio norte, con una probabilidad superior al 50 %.

Enfocándonos en la región RCC, las temperaturas de la superficie del mar (TSM) fueron superiores al promedio en la mayor parte del Golfo de América, con anomalías que oscilaron entre 0.5 °C y 2.5 °C en el cuadrante noroeste ([Fig. 6](#)). El Caribe presentó anomalías positivas de TSM de entre 0.5 y 1.5 °C. La Región de Desarrollo Principal del Atlántico presentó anomalías positivas de entre 0.5 y 1.5 °C. La cuenca tropical del Pacífico Oriental fue superior al promedio, con anomalías de TSM de entre 1 °C y 3 °C. La amplia región alrededor de la península de Baja California presentó una anomalía negativa de TSM de entre 1.0 °C y 2.5 °C.

El patrón de circulación de 850 mb presentó un componente norte anómalo en los vientos en el noreste de México, mientras que anomalías del oeste en el sur de México. Mientras tanto, Centroamérica observó condiciones cercanas al promedio. La mayor parte del Caribe ha observado anomalías de viento del este. Las anomalías positivas del oeste se registraron sobre Cuba, las Bahamas y el norte de la República Dominicana ([Fig. 7](#)). A 200 mb, se registraron fuertes anomalías del oeste en niveles superiores en el norte de México, mientras que las anomalías del este dominaron el sur de México. En Centroamérica, se observaron fuertes anomalías del este en Nicaragua, Costa Rica y Panamá. En el Caribe, La Española observó condiciones cercanas al promedio, mientras que las Antillas Menores observaron anomalías del este ([Fig. 8](#)).

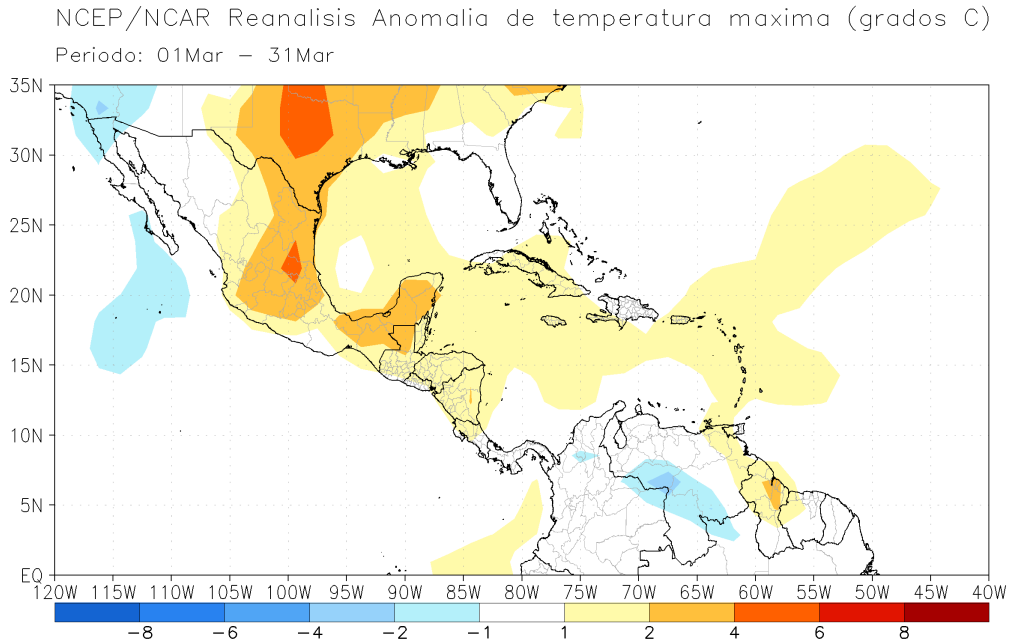


Figura 1. NCEP/NCAR reanálisis anomalía de temperatura máxima media cuadriculada (°C) durante el mes de febrero. Las anomalías se calculan con respecto al período base 1991-2020.

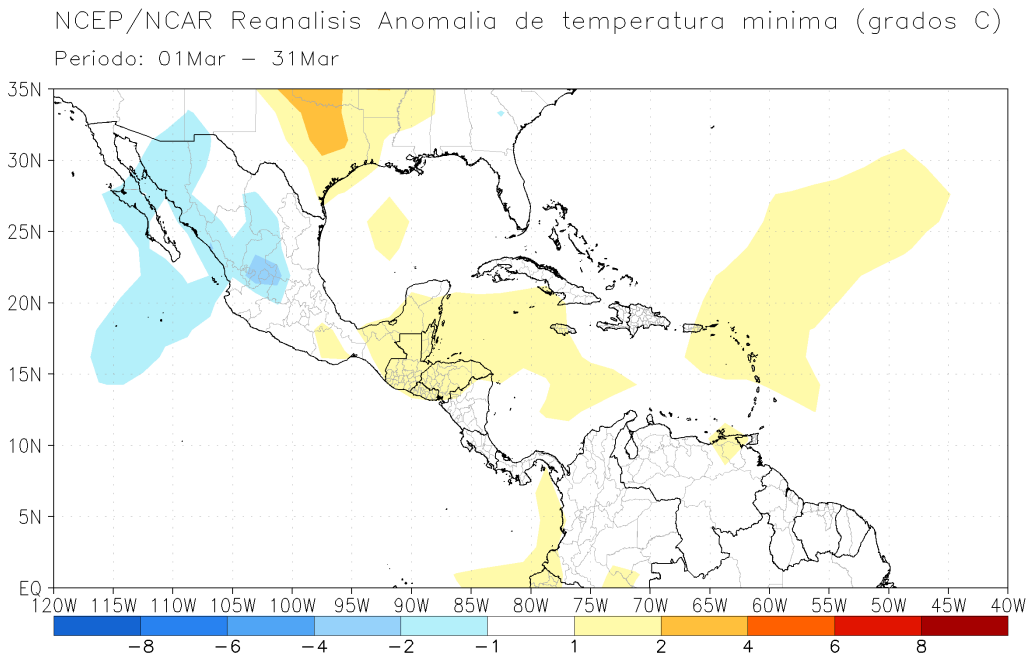


Figura 2. NCEP/NCAR reanálisis anomalía de temperatura mínima media cuadriculada (°C) durante el mes de Marzo 1991-2020. Las anomalías se calculan con respecto al período base 1991-2020.

CMORPH: Precipitación total (mm)

Periodo: 01Mar2025 - 31Mar2025

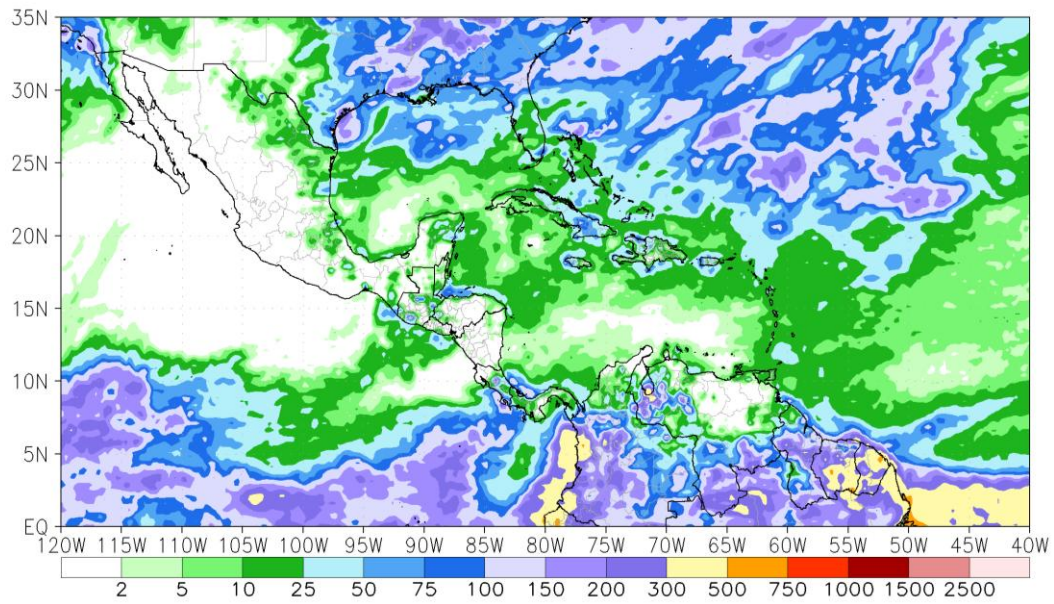


Figura 3. Precipitación total estimada por satélite (mm) durante el mes de Marzo de 2025.

CMORPH: Anomalia de precipitación (mm)

Periodo: 01Mar2025 - 31Mar2025

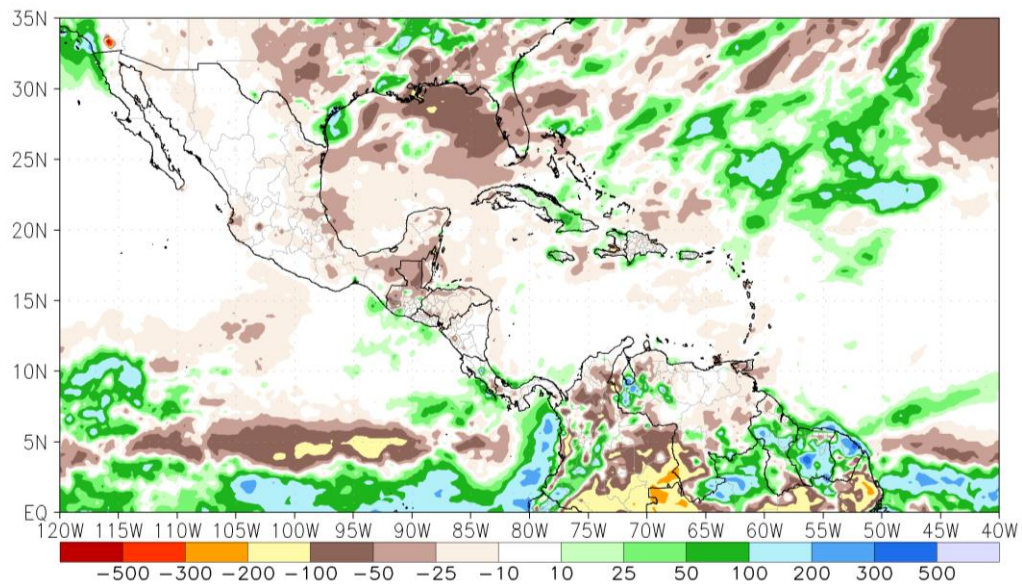


Figura 4. Anomalia de precipitación estimada por satélite (mm) durante el mes de Marzo de 2025. Las anomalías se calculan con respecto al período base 1998-2020.

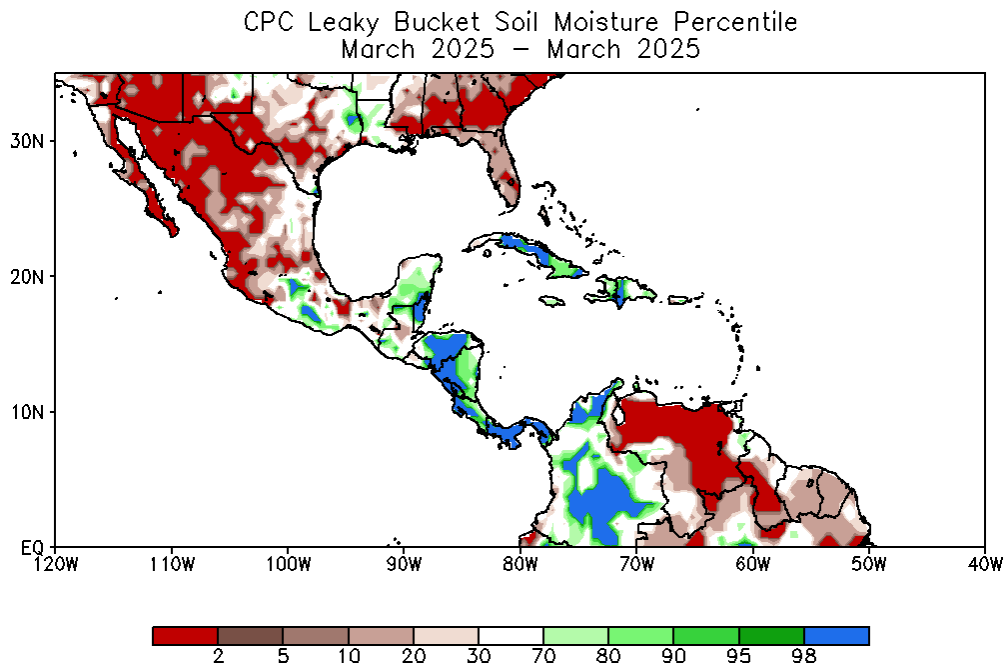


Figura 5. Percentil de humedad del suelo del modelo de CPC para el período de 1 mes del 1 de marzo al 31 de marzo de 2025 utilizando un período climatológico de 1979-2019.

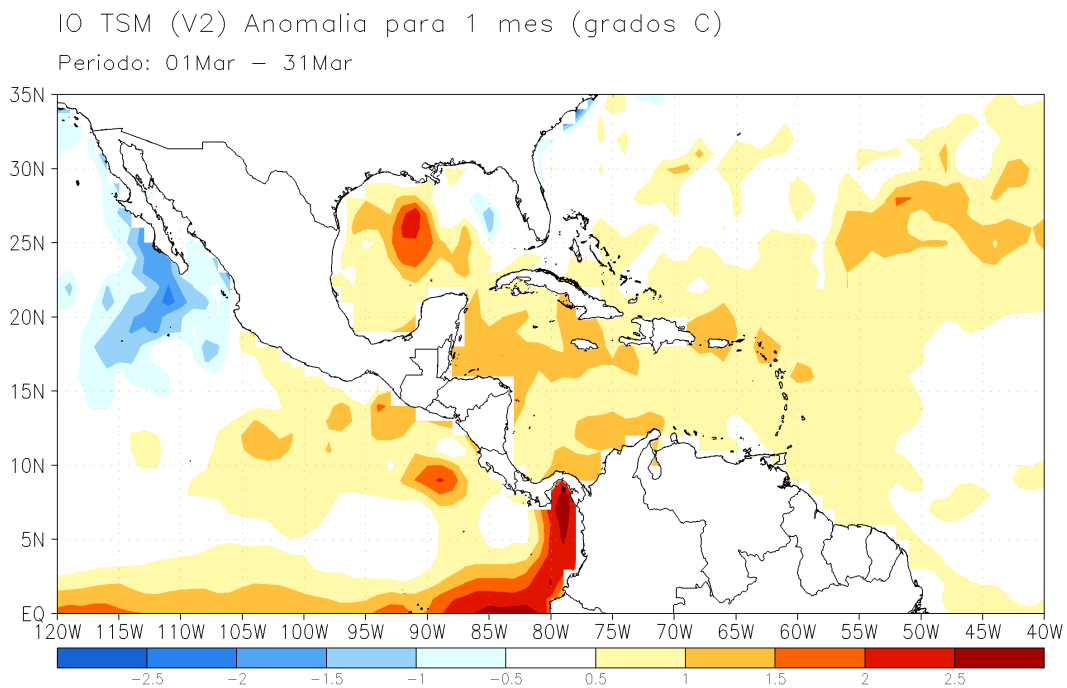


Figura 6. Anomalías de la temperatura media de la superficie del mar (TSM) (°C) para el mes de Marzo de 2024. Las anomalías se calculan con respecto al período base 1991-2020.

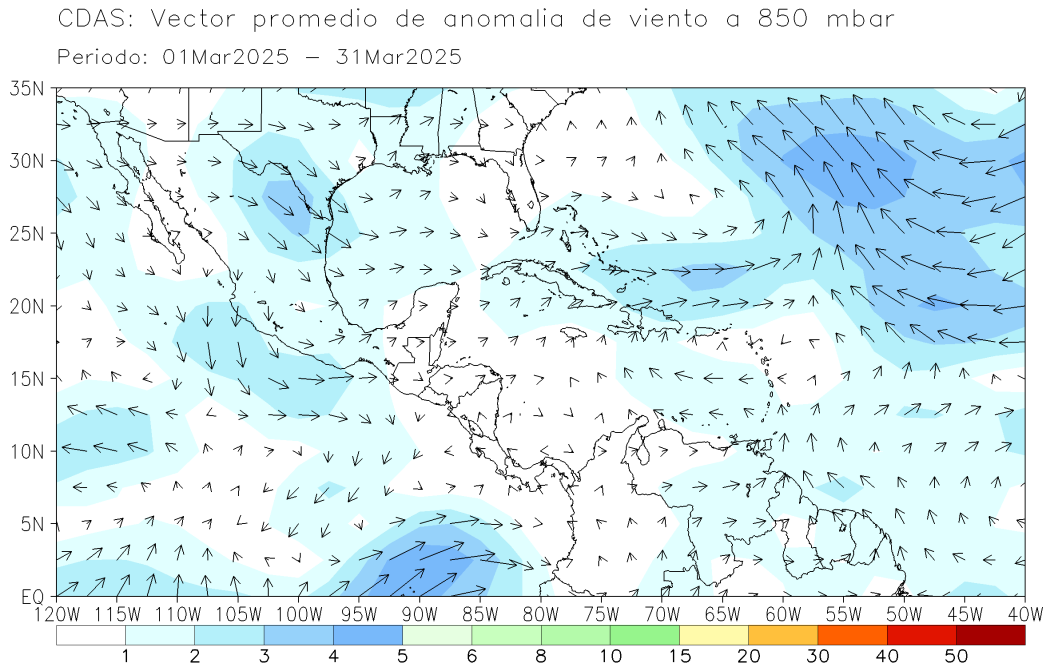


Figura 7. Anomalías de viento del vector medio de 850 mbar para el mes de febrero. Las anomalías se calculan con respecto a 1981-2020.

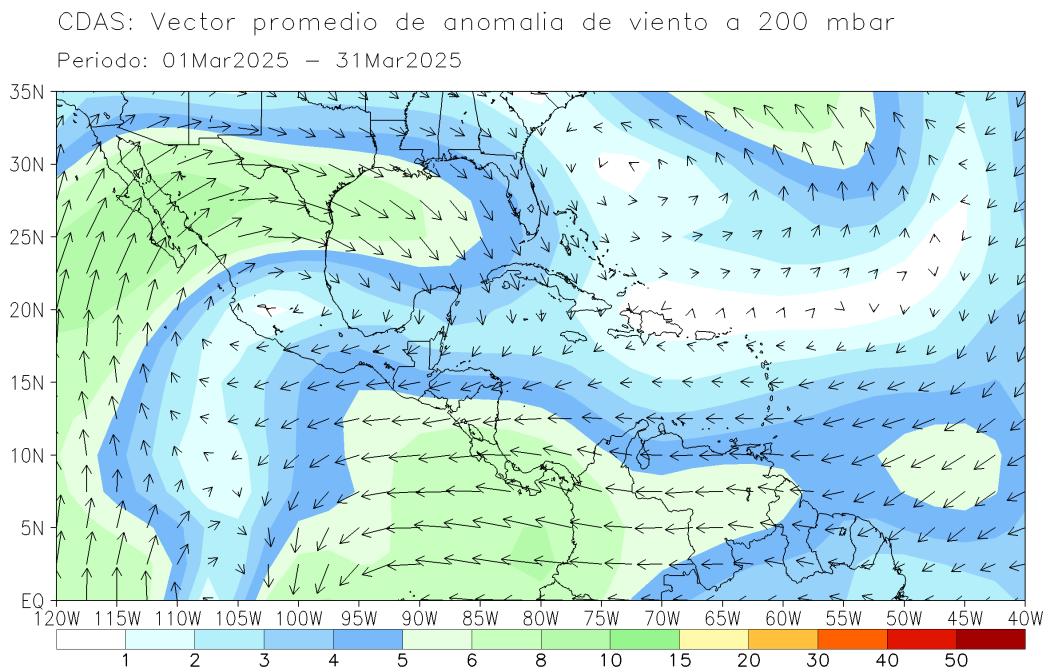


Figura 8. Anomalia del vector de viento de 200 mbar para el mes de febrero. Las anomalías se calculan con respecto a 1991-2020

16 abril 2025

Actualización preparada por el Centro de Predicción Climática / NCEP